

نشریه تحقیقات کاربردی علوم جغرافیایی، سال بیست و دوم، شماره ۶۴، پاییز ۱۴۰۱

تعیین روند زمانی و مکانی و نقطه تغییر دما و بارش در حوضه کشف‌رود

دریافت مقاله: ۹۷/۱۲/۲۱ پذیرش نهایی: ۹۸/۸/۴

صفحات: ۲۸۹-۳۰۶

آمنه خسروی: دانشجوی کارشناسی ارشد آبخیزداری، دانشکده منابع طبیعی و محیط زیست، دانشگاه فردوسی مشهد، مشهد، ایران.

Email: amene.khosravi@mail.um.ac.ir

محمود آذری: استادیار گروه مرتع و آبخیزداری دانشکده منابع طبیعی و محیط زیست، دانشگاه فردوسی مشهد، مشهد، ایران!

Email: m.azari@um.ac.ir

چکیده

بررسی ویژگی‌های آب و هوایی و نوسانات آن در ارزیابی تاثیر تغییر اقلیم و مدیریت و بهره برداری از منابع آب اهمیت دارد. تحلیل روند سری‌های زمانی متغیرهای هیدرولوژی و هواشناسی یکی از روش‌های تعیین تغییر در مولفه‌های اقلیمی است که با روش‌های مختلف پارامتری و ناپارامتری انجام می‌شود. در این پژوهش روند بارش و دما در سه مقیاس زمانی سالانه، فصلی و ماهانه در ایستگاه‌های حوضه کشف‌رود برای دوره آماری ۱۳۶۴ تا ۱۳۹۵ مورد بررسی قرار گرفت. برای این منظور آمار بارش و دمای ماهانه اخذ گردید و روند سری‌های زمانی سالانه، فصلی و ماهانه با استفاده از آزمون ناپارامتری من کندال و آزمون پتیت در سطح اطمینان ۹۵٪ مورد ارزیابی قرار گرفت. نتایج نشان داد که روند دمای بیشینه در فصول بهار و زمستان و همچنین در مقیاس سالانه برای کلیه ایستگاه‌های حوضه افزایشی است. اما در فصل تابستان و پاییز الگوی یکسانی وجود ندارد. روند دمای کمینه ایستگاه‌های حوضه در تمامی فصول از الگوی واحدی برخوردار نیست. نتایج تحلیل روند بارش نشان می‌دهد که بارش سالانه حوضه تغییر نکرده و روند آن در سطح ۵ درصد معنی‌دار نیست در حالی که در فصل زمستان مقدار بارش حوضه روند کاهشی داشته است و در پاییز نیز در نیمه جنوبی روند افزایشی است. کاهش شدید بارش در زمستان و ماه‌های دی و بهمن و افزایش آن در آبان می‌تواند مدیریت منابع آب حوضه را در فصل خشک با چالش جدی مواجه کند.

کلید واژگان: نوسانات اقلیمی، آزمون من کندال، سری زمانی، آزمون پتیت، دشت مشهد.

۱- نویسنده مسئول: مشهد، میدان آزادی، دانشگاه فردوسی مشهد، دانشکده منابع طبیعی و محیط زیست.

مقدمه

تغییر اقلیم، واکنش طبیعت به فعالیت‌های بشر در نتیجه رشد صنعتی می‌باشد (ژو^۱ و همکاران، ۱۴۴: ۲۰۰۳). افزایش دمای متوسط جهانی موجب ایجاد ناهنجاری‌هایی در متغیرهای هواشناسی و هیدرولوژیکی از جمله بارش و تبخیر و تعرق شده است. بررسی وقایع اقلیمی و ویژگی‌های آن در مطالعات هیدرولوژی و ارزیابی تاثیر تغییرات اقلیمی اهمیت دارد و عوامل ایجادکننده و روند این تغییرات برای مدیریت بهتر منابع آب ضروری می‌باشد (زارع ابیانه و همکاران، ۱۳۸۹: ۱). تحلیل روند سری‌های زمانی متغیرهای هیدرولوژی و هواشناسی یکی از روش‌های تعیین میزان تغییر در مولفه‌های اقلیمی مرتبط با آب است (وفاخواه و همکاران، ۱۳۹۱: ۷۷). روند در سری‌های زمانی آب و هواشناسی می‌تواند ناشی از تغییرات تدریجی طبیعی و یا تغییر اقلیم باشد. روند معنی‌دار در یک سری زمانی بارندگی به تنها‌ی دلیلی قاطع بر وقوع تغییر اقلیم در یک منطقه نیست بلکه تنها فرض رخداد آن را تقویت می‌نماید که این ویژگی به عوامل متعدد کنترل کننده اقلیم مرتبط است (سرانو^۲ و همکاران، ۱۹۹۹: ۸۵). تغییرات زمانی و مکانی بارش به عنوان یکی از مهم‌ترین اجزاء اقلیم در چرخه آب حوضه حائز اهمیت است. در سال‌های اخیر مطالعات متعددی درباره‌ی آثار احتمالی تغییر اقلیم بر جریان رودخانه‌ها انجام شده است که بیشتر آنها به بررسی تغییرات میانگین‌های بلندمدت اقلیمی و هیدرولوژیکی پرداخته‌اند. بررسی روند، علاوه بر مشخص کردن نوسانات طولانی مدت فرایندهای هیدرولوژیکی، دوره تناوب و دیگر خصوصیات آنها را مشخص می‌کند (سانگ^۳ و همکاران، ۲۰۱۴: ۲۹۳). به منظور تحلیل روند داده‌های هواشناسی و هیدرولوژی روش‌های مختلفی وجود دارد که به سه دسته روش‌های گرافیکی، پارامتری و ناپارامتری قابل تفکیک است (حامد و راؤ، ۱۹۹۸: ۳۵۰). روش‌های ناپارامتری از کاربرد وسیع‌تری نسبت به روش‌های پارامتری برخوردار می‌باشند. در این روش‌ها فرض صفر (H_0) نبود روند و فرض یک (H_1) وجود روند در سری داده‌ها را آزمون می‌کند. آزمون من Kendall^۴، اسپیرمن^۵، شیب سن^۶ و آزمون پتیت^۷ از جمله روش‌هایی است که در تحلیل روند در مطالعات مختلف استفاده شده است. از میان این روش‌ها، آزمون من Kendall به طور گستردگی در تحلیل روند داده‌های هیدرولوژیکی و هواشناسی به کار گرفته می‌شود.

جین^۸ و همکاران (۲۰۱۲)، برای تحلیل روند بارش و دما در شمال شرقی هند از آزمون من Kendall و شیب سن استفاده کردند. روند کلی در داده‌های بارش برای دوره ۱۸۷۱-۲۰۰۸ مشاهده نشد در صورتی که بیشینه، کمینه و میانگین دما روند افزایشی داشتند. بیری^۹ و همکاران (۲۰۱۶)، به بررسی تحلیل روند بارش فصلی و سالانه در منطقه شمالی بنگلادش برای دوره ۱۹۶۴-۲۰۱۳ با استفاده از آزمون من Kendall و شیب سن پرداختند. نتایج مطالعه نشان داد که در سطح اطمینان ۹۵٪ روند بارش فصلی و سالانه بعد از اوایل دهه ۹۰ برای اکثر ایستگاه‌ها

1- Xu

2 - Serrano

3 - Sang

4 - Hamed and Rao

5 - Mann Kendall test

6 - Spearman

7 - Sens slope

8 - Pettitt test

9 - Jain

10 - Bari

کاهشی بوده است. آسفا^۱ و همکاران (۲۰۱۷) در بررسی روند تغییرات دما و بارش سالانه در اتیوپی برای دوره ۱۴-۲۰ از آزمون من کندال استفاده کردند. نتایج نشان داد که بارش سالانه دو ایستگاه روند کاهشی و یک ایستگاه روند افزایش داشته است. همچنین روند افزایشی برای دمای کمینه و میانگین دما معنی دار، و برای دمای بیشینه معنی دار نبوده است. بلیهو^۲ و همکاران (۲۰۱۸) روند بارش و دما در حوضه گیدابو^۳ اتیوپی را با استفاده از آزمون من کندال، شب سن و آزمون پتیت بررسی کردند. نتایج مطالعه دلالت بر کاهش قابل توجه بارش سالانه داشته است. همچنین آزمون پتیت نشان داد که سال های ۱۹۹۷ و ۲۰۰۷ نقاط تغییر سری داده ها بوده اند. تحلیل روند دما نیز نشان داد که قسمت بالادست حوضه در حال گرم شدن است. در داخل کشور نیز حجام و همکاران (۱۳۸۷)، به بررسی روند تغییرات بارندگی های فصلی و سالانه حوضه ایران مرکزی در بازه زمانی ۱۳۵۰ الی ۱۳۷۹ با استفاده از آزمون من کندال و شب سن پرداختند. نتایج نشان دهنده وجود روند کاهشی و معنی دار شده در برخی از سری های زمانی مورد مطالعه بود ولی هیچ روند افزایشی و معنی داری بصورت توأم توسط دو آزمون بکار گرفته شده مورد تأیید قرار نگرفت. زارع ابیانه و همکاران (۱۳۸۹) تحلیل روند تغییرات سالانه و فصلی دما و بارش در ۱۵ ایستگاه استان همدان را با آزمون من کندال انجام دادند. نتایج تحلیل روند مقدار باران سالانه نشان داد در ۶۰ درصد ایستگاه ها، روند بارش، کاهشی بود که این کاهش بیشتر در فصول بهار، زمستان و تابستان مشاهده شده است. بررسی تغییرات دمایی نشان داد که روند دمای سالانه ۵۰ درصد از ایستگاه ها افزایشی است. محمدی (۱۳۹۰)، تحلیل روند داده های بارش سالانه ایران طی دوره ۴۰ ساله (۱۳۴۳ تا ۱۳۸۲) را با استفاده از آزمون من کندال و شب سن بررسی کرد. نتایج نشان داد که در سری های زمانی میانگین ایستگاهی و باخته ای بارش ایران، روند افزایشی یا کاهشی وجود ندارد. با این حال میانگین ایستگاهی بارش ایران به طور متوسط در هر سال در حدود ۰/۶۴ میلی متر و میانگین باخته ای بارش ایران نیز در حدود ۰/۵ میلی متر کاهش یافته است. فرسادنیا و همکاران (۱۳۹۱) برای تحلیل روند بارندگی در استان مازندران، دوره آماری ۳۰ ساله در ۳۵ ایستگاه باران سنجی از آزمون من کندال استفاده کردند. نتایج نشان داد که اگر استان مازندران یک منطقه واحد در نظر گرفته شود، هیچ روندی در سری زمانی حداکثر بارش ۲۴ ساعته در سطح معنی داری ۵٪ مشاهده نمی شود. بررسی وجود روند در سری زمانی میانگین بارش سالانه نیز نشان داد که کل استان مازندران دارای روند صعودی در سطح معنی داری ۱٪ است. فاخوه و همکاران (۱۳۹۱) به بررسی تحلیل روند بارندگی و دبی حوضه کشف رود، در ۱۳ ایستگاه هواشناسی و هیدرومتری در دوره آماری بین سال های ۱۳۸۵ تا ۱۳۸۵ پرداختند. نتایج تحلیل بارندگی نشان داد بارندگی در فصل پاییز در اکثر ایستگاه ها افزایش یافته است. از طرف دیگر بارندگی در فصل بهار در ۱۰ ایستگاه از مجموع ۱۳ ایستگاه روند کاهشی را نشان می دهد. در فصول زمستان و تابستان تقریباً تعداد ایستگاه های دارای روند افزایشی و کاهشی برابر است. در بررسی روند داده های سالانه بارندگی مشاهده شد که از مجموع ۱۳ ایستگاه مورد مطالعه در حوزه آبخیز کشف رود، ۵ ایستگاه روند افزایشی و ۸ ایستگاه روند کاهشی داشتند. احمدی و همکاران (۱۳۹۵)، به تحلیل روند بارندگی نیمه شمالی کشور در نیم قرن اخیر با استفاده از آزمون من کندال و شب سن پرداختند. نتایج نشان داد که در مقایس

1 - Asfaw

2 - Belihu

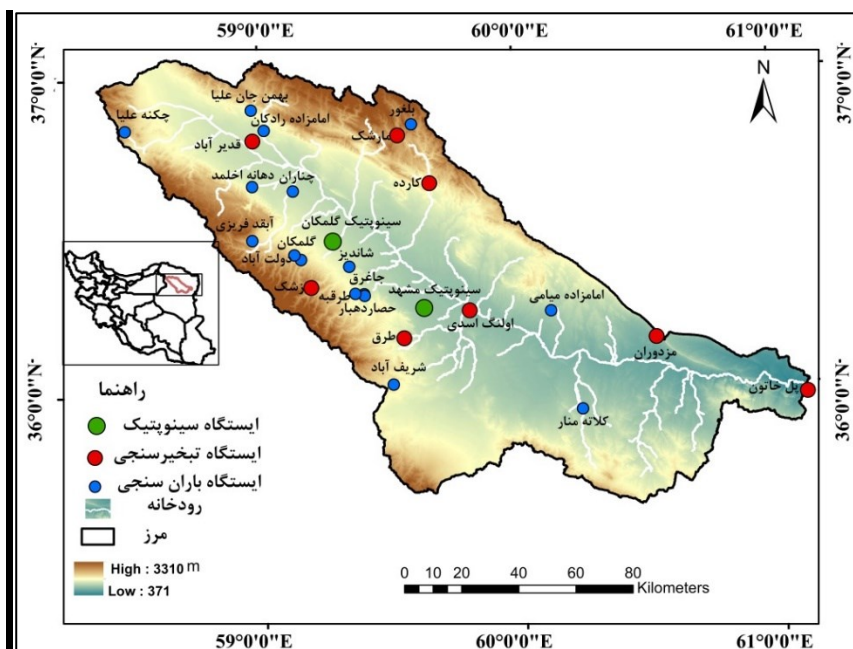
3 - Gidabo basin

سالانه، هشت ایستگاه از ۱۸ ایستگاه مورد بررسی، روند کاهشی معنی دار، شش ایستگاه روند کاهشی غیر معنی دا و فقط چهار ایستگاه (بابلسر، قزوین، سبزوار و تهران) افزایش بارش داشته‌اند. آروین و همکاران (۱۳۹۵)، روند بارش، تعداد روزهای برفی و نیز متوسط بیشینه و کمینه دما در استان چهارمحال و بختیاری را در یک دوره ۳۰ ساله بررسی نمودند. نتایج نشان داد مقدار بارش در ایستگاه‌های کوههنگ، لردگان و یان‌چشممه در پریاران ترین ماه سال (مارس) در سطح اطمینان ۸۸ درصد دارای روند کاهشی است. همچنین تعداد روزهای برفی ایستگاه کوههنگ در ماه مارس دارای یک روند کاهشی معنی‌دار در سطح اطمینان ۸۸ درصد است. امیررضائیه و همکاران (۱۳۹۵)، روند تغییرات بارش و دمای شمال‌غرب کشور در نیم قرن اخیر را با استفاده از آزمون من کنдал و شیب سن بررسی کردند. نتایج نشان داد که دما در اکثر ماه‌ها دارای روند افزایشی است. در مقیاس سالانه ۶۰ درصد ایستگاه‌ها روند افزایشی دما و ۷۰ درصد از ایستگاه‌ها روند کاهشی بارش داشته‌اند. در مطالعه دیگر مظفری و شفیعی (۱۳۹۵) روند سالانه بارش در مناطق غربی ایران را در دوره ۵۰ ساله با استفاده از آزمون من کنдал و شیب سن تعیین کردند. نتایج نشان داد که روند افزایشی یا کاهشی معنی‌داری در سری زمانی میانگین ایستگاهی و یاخته‌ای بارش غرب ایران، در سطوح اطمینان ۹۹٪ و ۹۵٪ وجود ندارد. فیض و اسلامی (۱۳۹۶)، به ارزیابی روند تغییرات بارندگی با استفاده از آزمون من کنдал و رگرسیون خطی در استان خوزستان در ۴۷ ایستگاه هواشناسی پرداختند. نتایج نشان داد که در سطح اطمینان ۵ درصد بیشتر ایستگاه‌ها دارای روند منفی هستند و بارندگی در استان خوزستان رو به کاهش می‌باشد. جواری (۱۳۹۶)، اقدام به تحلیل روند تغییرات مکانی بارش در ایران با استفاده از آزمون من کنдал و شیب سن نمود. نتایج مطالعه نشان داد که الگوهای روند زمانی و مکانی در ایران متفاوت است و بارش ماهانه در اکثر ایستگاه‌ها کاهش یافته است که ۷۳/۵٪ ایستگاه‌ها در سطح اطمینان ۵٪ روند کاهشی را نشان دادند. در فاصله زمانی مورد مطالعه تغییرات بارش ماهانه به طور قابل توجهی در شرق و مرکز ایران کاهش یافته اما در شمال و غرب ایران افزایش یافته است. نتایج بررسی منابع نشان می‌دهد که آزمون من کنдал به دلیل اینکه مناسب سری‌های زمانی است که از توزیع آماری خاصی پیروی نمی‌کنند و همچنین تاثیرپذیری کمی از مقادیر حدی دارد در مطالعات مختلف تحلیل روند استفاده شده است. اما در شرایطی که زمان تغییر در سری داده‌ها اهمیت داشته باشد آزمون پتیت می‌تواند مورد استفاده قرار گیرد. هدف این تحقیق تحلیل روند و بررسی تغییر دما و بارندگی حوضه کشف‌رود در استان خراسان رضوی از سال ۱۳۵۱ تا ۱۳۹۵ است. حوضه کشف‌رود به دلیل استقرار نزدیک به ۷۵ درصد صنعت، ۵۳ درصد جمعیت و ۱۷ درصد کشاورزی استان خراسان رضوی از اهمیت ویژه‌ای برخوردار است و سهم بسزایی در تامین آب شرب شهر مشهد دارد (انتظاری و همکاران، ۱۳۹۲: ۱۵۹). از این رو تحلیل تغییرات آب و هوا و لزوم لحاظ آن در مدیریت منابع آب حوضه ضرورت دارد. در همین راستا الگوی مکانی تغییرات با روش من کنдал و تعیین زمان تغییرات با استفاده از آزمون پتیت در ایستگاه‌های مختلف حوضه بررسی گردید.

روش تحقیق

منطقه مورد مطالعه

حوضه آبخیز کشفرود به وسعت ۱۶۵۰۰ کیلومترمربع بخشی از حوزه آبخیز قره‌قوم است که در شمال شرق کشور در شمال استان خراسان رضوی قرار گرفته است. این حوضه در طول جغرافیایی $58^{\circ} ۵۸' ۰۸''$ تا $۶۰^{\circ} ۳' ۳۵''$ عرض جغرافیایی $۴۰^{\circ} ۳' ۳۶''$ تا $۳۵^{\circ} ۴' ۰۳''$ در اقلیم نیمه‌خشک سرد واقع شده است (حیدری و علیجانی، ۱۳۷۸: ۳۰). رودخانه کشفرود به عنوان مهمترین رود حوضه، پس از عبور از دشت مشهد، در محلی به نام پل خاتون در مرز کشور ترکمنستان به هریرود می‌پیوندد و رودخانه تجن را تشکیل می‌دهد. شکل (۱) موقعیت حوضه آبخیز کشفرود و ایستگاه‌های مورد مطالعه را در ایران نشان می‌دهد.



شکل (۱). موقعیت حوضه آبخیز کشفرود در ایران و ایستگاه‌های مورد مطالعه

داده و روش کار

برای انجام پژوهش حاضر آمار بارش و دمای روزانه و ماهانه ۳۱ ایستگاه بارانسنجی، ۱۰ ایستگاه تبخیرسنجی و ۲ ایستگاه سینوپتیک واقع در حوضه کشفرود از شرکت سهامی آب منطقه‌ای خراسان رضوی و اداره کل هواشناسی خراسان رضوی برای کل دوره آماری گرفته شد. از بین ۴۳ ایستگاه که آمار دما و بارندگی را به صورت مشترک داشتند، ۲۸ ایستگاه که دارای بیشترین طول دوره‌ی آماری بودند و پراکنش مناسب در سطح حوضه داشتند، انتخاب گردید. در مرحله بعد آزمون همگنی داده‌ها با روش جرم مضاعف و بازسازی ایستگاه‌های ناقص با روش همبستگی انجام شد (مهندی، ۱۳۹۰). جدول (۱) مشخصات ایستگاه‌های مطالعاتی نهایی را نشان می‌دهد.

جدول (۱). مشخصات ایستگاه‌های مورد مطالعه

نام ایستگاه	ارتفاع (m)	نوع ایستگاه	عرض جغرافیایی (m)	طول جغرافیایی (m)	مشخصات جغرافیایی (UTM)
قدیر آباد	۱۱۹۵	تبخیرسنگی	۴۰۷۴۹۸۴	۶۷۶۴۰۱	
آبد فربیزی	۱۳۹۰	بارانسنگی	۴۰۴۰۱۱۴	۶۷۶۳۹۴	
بهمن جان علیا	۱۳۷۱	بارانسنگی	۴۰۸۵۷۹۶	۶۷۵۸۴۲	
اماوزاده میامی	۱۰۳۹	بارانسنگی	۴۰۱۶۲۱۴	۲۴۳۷۴۲	
شریف آباد	۱۴۶۷	بارانسنگی	۳۹۸۹۹۲۵	۷۲۵۸۹۳	
جاغرق	۱۴۳۴	بارانسنگی	۴۰۲۱۵۱۸	۷۱۵۵۶۲	
کلاته منار	۹۸۳	بارانسنگی	۳۹۸۰۳۱۰	۲۵۰۸۴۴	
چنانان	۱۱۸۶	بارانسنگی	۴۰۵۷۴۸۲	۶۹۰۵۳۸	
بلغور	۱۹۳۴	بارانسنگی	۴۰۸۱۰۲۲	۷۳۱۸۹۱	
ارداک بند ساروج	۱۲۲۰	تبخیرسنگی	۴۰۶۷۵۲۴	۷۱۳۶۴۸	
کرتیان	۱۲۴۰	تبخیرسنگی	۴۰۰۵۹۳۰	۷۲۶۰۷۳	
چکنه علیا	۱۷۰۴	بارانسنگی	۴۰۷۸۲۴۳	۶۳۱۷۵۸	
مارشک	۱۸۳۰	تبخیرسنگی	۴۰۷۷۱۵۷	۷۲۷۰۵۲	
اولنگ اسدی	۹۱۲	تبخیرسنگی	۴۰۱۵۹۰۵	۷۵۲۴۷۰	
حصار-دهبار	۱۲۵۱	بارانسنگی	۴۰۲۰۰۷۷	۷۱۵۷۳۴	
مزدوران	۹۲۷	تبخیرسنگی	۴۰۰۳۹۶۸	۲۷۸۰۶۱	
سرآسیاب شاندیز	۱۲۹۶	بارانسنگی	۴۰۳۱۱۴۳	۷۱۰۳۲۳	
رشك	۱۸۳۲	تبخیرسنگی	۴۰۰۲۳۷۴۲	۶۹۷۰۰۲۳	
دولت آباد	۱۵۷۵	بارانسنگی	۴۰۳۳۵۱۹	۶۹۳۴۵۰	
گلمکان	۱۴۴۰	بارانسنگی	۴۰۳۵۱۳۸	۶۹۱۱۲۸	
دهانه اخلmed	۱۴۶۷	بارانسنگی	۴۰۰۵۹۰۴۶	۶۷۶۲۹۶	
اماوزاده رادکان	۱۲۱۴	بارانسنگی	۴۰۰۷۸۷۲۰	۶۸۰۳۶۱	
سینوپتیک مشهد	۹۹۹/۲	سینوپتیک	۴۰۱۶۷۴۳	۷۳۶۵۵۹	
سینوپتیک گلمکان	۱۱۷۶	سینوپتیک	۴۰۰۳۹۹۸۳	۷۰۴۵۴۴	
طرقه	۱۳۶۰	بارانسنگی	۴۰۲۱۶۷۱	۷۱۲۴۶۴	
پل خاتون-کشفروود	۴۱۰	تبخیرسنگی	۳۹۸۱۹۳۸	۳۲۹۷۲۰	
سد کاردۀ	۱۲۷۹	تبخیرسنگی	۴۰۶۰۴۳۷	۷۳۸۲۰۳	
سد طرق	۱۲۴۲	تبخیرسنگی	۴۰۰۶۱۳۲	۷۲۹۵۸۷	

آزمون من کندال

در این پژوهش آزمون من کندال برای تحلیل روند بارش و دما مورد استفاده قرار گرفت. آزمون من کندال جزو پرکاربردترین روش‌های ناپارامتری تحلیل روند سری‌های زمانی است که بر پایه رتبه‌بندی داده‌ها در یک سری زمانی توسعه یافته است (من، ۱۹۴۵؛ ۲۴۵؛ کندال، ۱۹۷۵: ۸). در این روش ابتدا آماره S از رابطه (۱) محاسبه می‌شود.

$$S = \sum_{k=1}^{n-1} \sum_{j=k+1}^n \text{sgn}(x_j - x_k) \quad (1)$$

در رابطه (۱)، n تعداد داده مشاهداتی و x_j و x_k به ترتیب داده‌های متوالی j ام و k ام سری هستند. مقدار مثبت آماره S نشان‌دهنده روند افزایشی و مقدار منفی آن نشان‌دهنده روند کاهشی است. مقدار صفر آماره S نیز دلالت بر عدم وجود روند در سری داده‌ها دارد (جواری، ۱۷: ۶). در رابطه (۱) $\text{sgn}(x_j - x_k)$ تابع علامت است و از رابطه (۲) بدست می‌آید.

$$\text{sgn} = \begin{cases} +1 & (X_j - X_k) > 0 \\ 0 & (X_j - X_k) = 0 \\ -1 & (X_j - X_k) < 0 \end{cases} \quad \text{رابطه (۲)}$$

آماره S توزیع نرمال دارد و میانگین آن صفر و واریانس آن بر اساس تعداد داده با یکی از روابط (۳) و (۴) (حامد، ۰۸: ۳۵۲) تعیین می‌گردد.

$$\text{var}(s) = \frac{n(n-1)(2n+5)}{18} \quad n < 10 \quad \text{رابطه (۳)}$$

$$\text{var}(s) = \frac{n(n-1)(2n+5) - \sum_{j=1}^m t_i t_i (t_i-1)(2t_i-1)(2t_i+5)}{18} \quad n > 10 \quad \text{رابطه (۴)}$$

در رابطه (۳) و (۴)، n تعداد داده‌های مشاهداتی، m تعداد سری‌هایی است که در آن حداقل یک داده تکراری وجود دارد و t فراوانی داده‌هایی با ارزش یکسان می‌باشد. در مواردی که $n > 10$ باشد، آماره Z از رابطه (۵) محاسبه می‌شود.

رابطه (۵)

$$Z = \begin{cases} \frac{S-1}{\sqrt{\text{var}(S)}} & \text{if } S > 0 \\ 0 & \text{if } S = 0 \\ \frac{S+1}{\sqrt{\text{var}(S)}} & \text{if } S < 0 \end{cases}$$

برای سطح معنی داری α اگر $|Z| > Z_{1-\alpha}$ باشد فرض صفر، رد خواهد شد که این بدین معنی است که در سری داده‌ها روند معنی‌داری وجود دارد. در این صورت شبیه تغییرات (β) با رابطه (۶) حساب قابل محاسبه است.

$$\beta = \frac{x_j - x_k}{j-k} \quad \text{رابطه (۶)}$$

در رابطه (۶)، x_j و x_k به ترتیب داده‌های مشاهداتی در زمان‌های j و k هست. با محاسبه میانه‌ی شبیه‌های یک سری زمانی، شبیه خط روند (β_{med}) بدست می‌آید که علامت آن نشان‌دهنده روند مثبت و منفی سری داده‌های می‌باشد (ژو و همکاران، ۰۳: ۱۴۵). برای استفاده از روش من-کندال داده‌های سری

نباید خود همبسته باشد در این پژوهش به منظور بررسی و حذف خودهمبستگی از روش یو^۱ و همکاران (۲۰۰۲: ۱۱۸۲، ۲۰۰۳: ۵۳) استفاده شد.

آزمون پتیت

از آزمون پتیت به منظور تشخیص تغییرات ناگهانی در سری زمانی داده‌ها استفاده شد. این روش یک آزمون مبتنی بر رتبه‌بندی جهت تشخیص تغییر ناگهانی در میانگین یک سری زمانی می‌باشد (پتیت، ۱۹۷۹: ۱۲۶). که در تحقیقات مختلفی برای تشخیص تغییرات اقلیمی در سری‌های زمانی هیدرولوژیکی به کار گرفته شده است (وسترتین^۲ و همکاران، ۲۰۰۶: ۲۲؛ مو^۳ و همکاران، ۲۰۰۷: ۲۱۲۷؛ زانگ^۴ و لو^۵: ۲۰۰۹؛ گائو^۶ و همکاران، ۲۰۱۱: ۲۰۱۱). این آزمون نیز برای داده‌هایی که از توزیع آماری خاصی تبعیت نمی‌کنند مناسب است و به داده‌های پرت حساس نیست (لی^۷ و همکاران، ۲۰۱۶: ۶؛ ژای^۸ و همکاران، ۲۰۱۳: ۲). آزمون پتیت یک توالی از متغیرهای تصادفی X_1, X_2, \dots, X_T در نظر می‌گیرد زمانی که X_t برای $t = 1, 2, \dots, T$ از یک الگوی توزیع آماری ($F_1(X)$) و X_t برای $t = \tau + 1, \dots, T$ از الگوی دیگری بخوردار باشد ($F_2(X)$) در این صورت نقطه τ به عنوان نقطه تغییر تعیین می‌گردد. در آزمون پتیت، فرض صفر (H_0) یا عدم تغییر ($\tau = T$) در مقابل فرض یک (H_a) یا وجود تغییر ($1 \leq \tau \leq T - 1$) با استفاده از آماره ناپارامتری $KT = \text{Max} |U_{t,T}|$ آزمون می‌گردد که $U_{t,T}$ از رابطه (۷) محاسبه می‌شود. در این رابطه $D_{ij} = \text{sgn}(x_i - x_j)$ و $(\text{sgn}(x_i - x_j))$ از رابطه (۸) بدست می‌آید.

$$U_{t,T} = \sum_{i=1}^t \sum_{j=t+1}^T D_{ij} \quad \text{رابطه (۷)}$$

$$\text{Sgn}(X_i - X_j) = \begin{cases} +1 & (X_j - X_k) > 0 \\ 0 & (X_j - X_k) = 0 \\ -1 & (X_j - X_k) < 0 \end{cases} \quad \text{رابطه (۸)}.$$

در نهایت احتمال معنی‌داری برای نقطه تغییر (t) P با استفاده از رابطه (۹) بدست می‌آید:

$$P \cong 2 * \exp \left[\frac{-6KT^2}{T^3 + T^2} \right] \quad \text{رابطه (۹)}$$

۱ - Yue
۲ - Verstraeten
۳ - Mu
۴ - Zhang
۵ - Lu
۶ - Gao
۷ - Li
۸ - Xie

نتایج رونده دما

روند تغییر دما برای دمای بیشینه و کمینه در سه مقیاس زمانی ماهانه، فصلی و سالانه در ۸ ایستگاه تبخیرسنجی و ۲ ایستگاه سینوپتیک مورد بررسی قرار گرفت. نتایج روند دمای بیشینه و کمینه به ترتیب در جدول (۲) و (۳) ارایه شده است. نتایج تحلیل روند دمای بیشینه در مقیاس ماهانه نشان می‌دهد که دمای بیشینه در ماههای فروردین، اردیبهشت و خرداد روند افزایشی داشته است در صورتی که در ماههای آبان، آذر و دی روند مشاهده نشده است. در سایر ماههای سال روند ایستگاهها هم سو نیست. ولی به طور کلی به جز در ایستگاه اولنگ اسدی روند دمای بیشینه کلی افزایشی و یا بدون روند است. روند دمای کمینه در ماههای اردیبهشت، خرداد، تیر، شهریور، مهر و اسفند افزایشی و در ماههای آذر و دی روند کاهشی است.

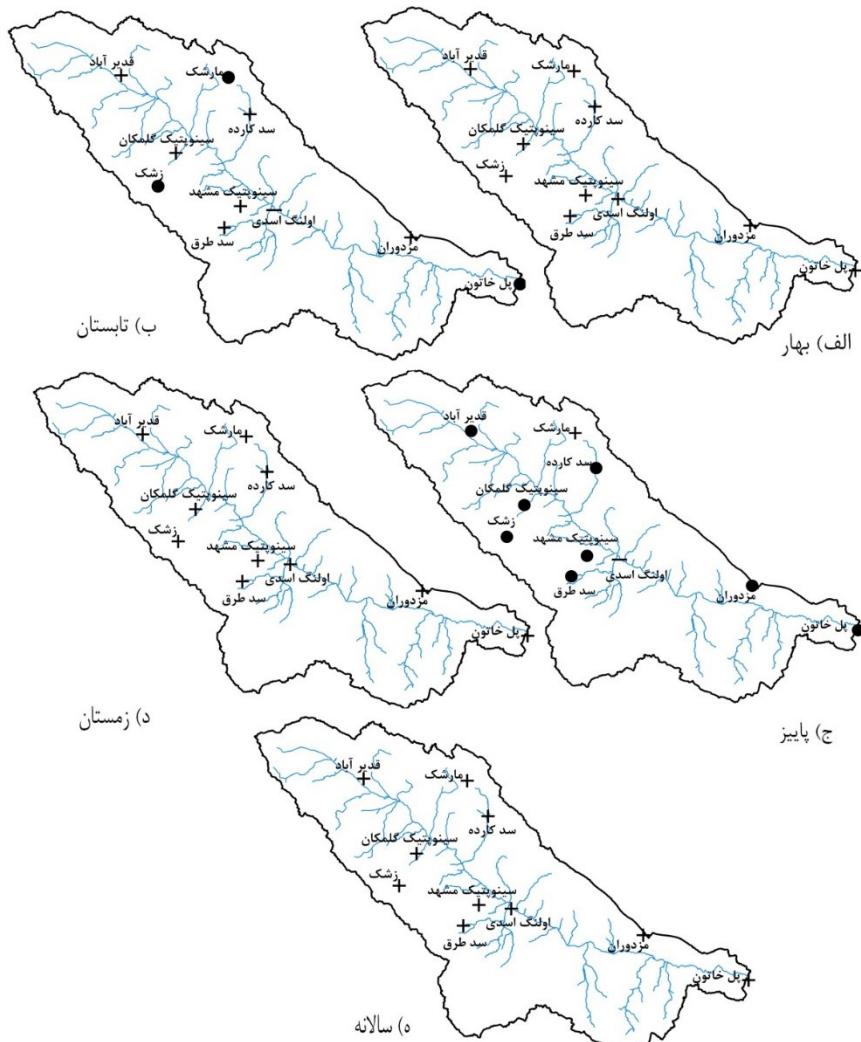
جدول (۲). روند دمای بیشینه ایستگاهها (+ روند صعودی، - روند نزولی و • بدون روند. اعداد داخل پرانتز شیب روند)

ایستگاه	جنوب	جنوب	جنوب	جنوب	جنوب	جنوب	جنوب	جنوب	جنوب	جنوب	جنوب	جنوب	جنوب	ایستگاه
زنگ	•	•	•	•	•	(+/-۰۶۷) +	•	•	•	+ (+/-۰۵)	(+/-۰۵۳) +	+ (+/-۰۸)		
مزدوران	(+/-۱۴۸) +	•	•	•	•	(+/-۱۳۸) + (+/-۱۱۷) + (+/-۱۱۶) +	+ (+/-۱۱)	+ (+/-۰۷)	+ (+/-۱۰۸) +	(+/-۱۰۸) +	(+/-۹۹) +			
اولنگ اسدی	+ (+/-۱۳)	(+/-۱۳۵) +	•	•	•	(+/-۰۳۵) + (+/-۰۳۸) - (+/-۰۳۱) -	•	•	(+/-۰۶۷) +	(+/-۰۶۷) +	(+/-۱۰۱) +			
پل خاتون	(+/-۱۷۴) +	•	•	•	•	(+/-۰۹۵) +	•	(+/-۰۴۳) +	•	(+/-۰۴۷) +	+ (+/-۱۱)	(+/-۱۱۵) +		
سد کاردہ	(+/-۱۴۶) +	•	•	•	•	(+/-۱۵۳) + (+/-۰۴۹) + (+/-۰۷۷) + (+/-۰۴۴) +	(+/-۰۵۹) +	(+/-۰۵۷) +	(+/-۰۸۶) +					
مارشک	(+/-۱۳۳) + (+/-۱۵۴) +	•	•	•	•	(+/-۱۲۹) +	•	•	+ (+/-۰۷)	(+/-۱۶۵) +	(+/-۱۷۹) +			
سد طرق	(+/-۱۴۵) +	+ (+/-۱۳)	•	•	•	(+/-۱۶۱) + (+/-۰۵۹) + (+/-۰۹۴) + (+/-۰۷) +	•	(+/-۱۸۱) +	(+/-۱۱۳) +					
قدیرآباد	+ (+/-۱۲)	•	•	•	•	(+/-۰۴۴) + (+/-۰۳۷) +	+ (+/-۰۶)	+ (+/-۰۹۶)	+ (+/-۱)					
سینوپتیک مشهد	•	(+/-۱۴۵) +	•	•	•	(+/-۱۱۴) + (+/-۰۵۸) + (+/-۰۷۳) + (+/-۰۶۳) + (+/-۰۸۵) +	(+/-۰۱۲۹) +	+ (+/-۱)						
سینوپتیک گلمکان	•	(+/-۱۴۸) +	•	•	•	(+/-۰۶۴) + (+/-۰۴۹) + (+/-۰۵۵) + (+/-۰۴۴) + (+/-۰۳۹) + (+/-۰۹۵) + (+/-۰۷۲) +	(+/-۰۰۷۲) +							

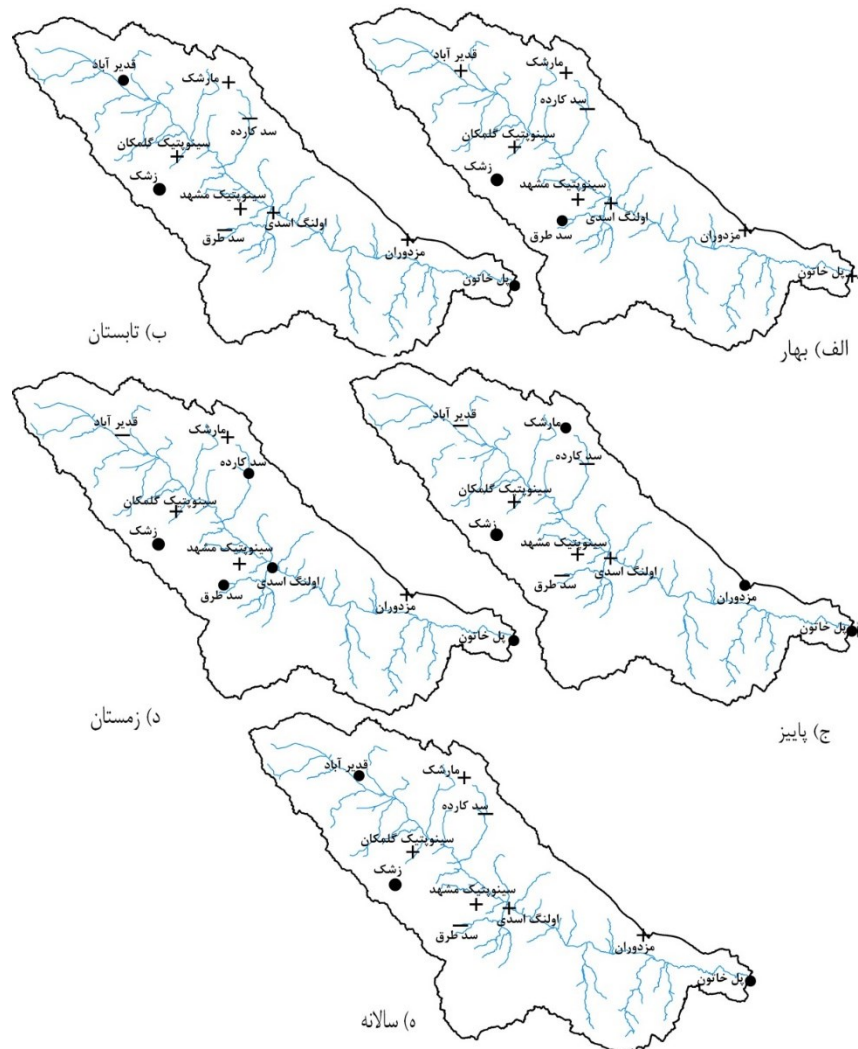
جدول (۳). روند دمایی کمینه ایستگاه‌ها (+ روند صعودی، - روند نزولی و ۰ بدون روند. اعداد داخل پرانتز شیب روند)

اسناد	بیانی	لی	آئندہ	آغاز	مکان	جگہ	جگہ	کارکرد	زمان	مکان	ارتباط	مکان	فرودگاه	ایستگاه
•	•	•	- (+/+٩)	(+/+٧١)-	(+/+٣٧)+	•	•	•	•	•	•	•	•	زشک
(+/+٧٦) +	•	•	(+/+٢٨)-	•	(+/+٦٧) + (+/+٤٧) +	•	(+/+١٦) +	•	+ (+/+٤)	•	•	•	•	مزدوران
•	•	(+/+٧٣)-	•	•	(+/+٧٤) + (+/+٤١) +	•	•	(+/+٩٤) + (+/+٦٩) + (+/+١٦) +	•	•	•	•	اوینگ اسدی	
•	•	(+/+٦١)-	•	•	(+/+٦٨) +	•	•	(+/+٣٤) +	•	(+/+٤٢) +	•	•	پل خاتون	
(+/+٣٥) +	•	(+/+٩٥) - (+/+٩٦) - (+/+١٤) -	•	•	(+/+٥٥) - (+/+٤٤) - (+/+٦٣) -	•	•	•	•	•	•	•	سد کارده	
(+/+٦٥) + (+/+٩٦) +	•	(+/+٣١)-	•	(+/+١٣٣) + (+/+١٤) + (+/+٢٣٥) + (+/+٢٦٤) + (+/+١٧٨) + (+/+١٥٤) + (+/+٧٧) +	•	•	•	•	•	•	•	•	مارشک	
(+/+٢٨) +	•	(+/+١١٩) - (+/+١٢٩) - (+/+٦٦) -	•	•	(+/+٥١) - (+/+٥١) - (+/+٣١) -	•	•	•	•	•	•	•	سد طرق	
(+/+٤٧) +	•	(+/+١٦٩) - (+/+١٦) - (+/+٥٣) - (+/+٤٣) +	•	•	(+/+٣٨) + (+/+٥٩) + (+/+٩) + (+/+٢٣) +	•	•	•	•	•	•	•	قدیر آباد	
(+/+٦٧) + (+/+٩٩) +	•	•	•	•	(+/+١٣٥) + (+/+٧٣) + (+/+٥٢) + (+/+٧٤) + (+/+٨٤) + (+/+١١٤) + (+/+٧٩) +	•	•	•	+	•	•	•	سینوپتیک مشهد	
(+/+٥١) + (+/+٨٩) +	•	•	•	•	(+/+١٥) + (+/+٤٧) + (+/+٣٩) + (+/+٣٩) + (+/+٥٤) + (+/+٨٤) + (+/+٦٤) +	•	•	•	+	(+/+٨٤)	(+/+٦٤) +	•	سینوپتیک گلمکان	

در ایستگاه‌های مختلف روند دمای کمینه هماهنگی دمای بیشینه را ندارد با این وجود نتایج ایستگاه‌های مختلف تا حدودی تشابه دارد. دمای کمینه در ماه‌های فروردین و اردیبهشت فاقد روند یا دارای روند مثبت است. با نزدیک شدن به فصل‌های تابستان و پاییز، تعداد ایستگاه‌هایی که فاقد روند هستند و یا روند کاهشی دارند افزایش می‌یابد. ماه‌های بهمن و اسفند از نظر روند تشابه زیادی به ماه‌های بهار دارند. نتایج روند دمای بیشینه و کمینه در مقیاس سالانه و فصلی در شکل (۲) و (۳) نشان داده شده است. روند دمای بیشینه در فصول بهار و زمستان و همچنین در مقیاس سالانه برای کلیه ایستگاه‌های حوضه افزایشی است. اما در فصل تابستان و پاییز الگوی یکسانی وجود ندارد. در فصل تابستان بیشتر ایستگاه‌ها (مزدوران، سد کارده، سد طرق، قدیرآباد، سینوپتیک مشهد و سینوپتیک گلمکان) روند صعودی داشته‌اند و در ۳ ایستگاه (زشك، پل خاتون و مارشک) نیز روند خاصی مشاهده نشده است و تنها در یک ایستگاه (ولنگ اسدی) روند منفی مشاهده شده است. در فصل پاییز نیز بیشتر ایستگاه‌ها (زشك، مزدوران، پل خاتون، سد کارده، سد طرق، قدیرآباد، سینوپتیک مشهد و سینوپتیک گلمکان) روند نداشته‌اند و تنها در دو ایستگاه روند کاهشی (ولنگ اسدی) و افزایشی (مارشک) مشاهده شده است. در مجموع روند عمومی حوضه در فصول مختلف و در مقیاس سالانه به خوبی افزایش دما را در دوره مطالعه نشان می‌دهد که این می‌تواند در افزایش مقدار تبخیر و تعرق و تغییر نوع بارش حوضه موثر باشد. روند دمای کمینه ایستگاه‌های حوضه در تمامی فصول از الگوی واحدی برخوردار نیست. اما در فصل بهار و تابستان و همچنین در مقیاس سالانه تعداد ایستگاه‌هایی که روند افزایشی داشته‌اند بیشتر از فاقد روند و روند کاهشی می‌باشد و دو ایستگاه شاخص سینوپتیک مشهد و سینوپتیک گلمکان که تقریباً در مرکز حوضه قرار دارند در تمام فصل‌ها و مقیاس سالانه روند افزایشی داشته‌اند.



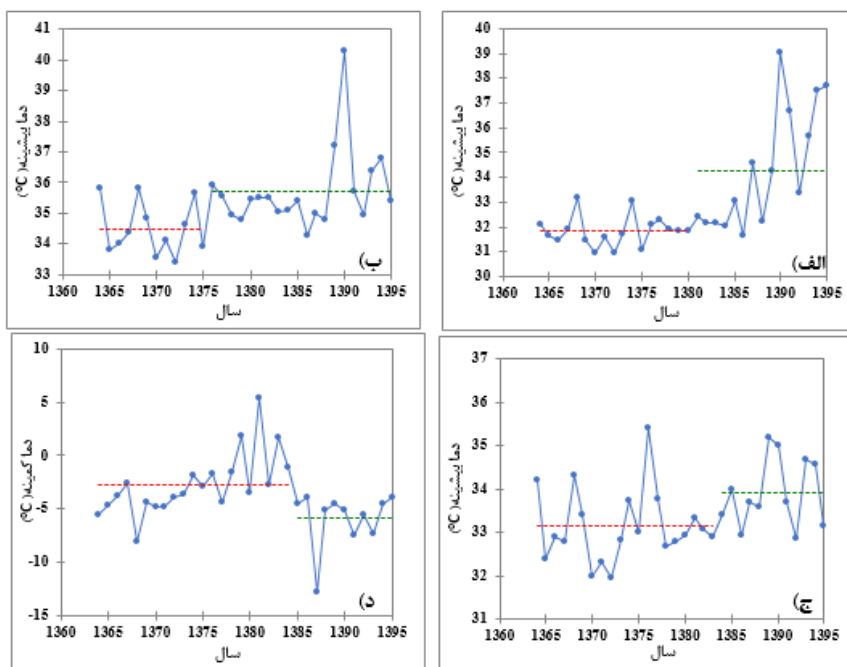
شکل (۲). نقشه روند فصلی و سالانه دمای بیشینه در ایستگاه‌های مورد مطالعه
(+ روند صعودی، - روند نزولی و • بدون روند)



شکل (۳). نقشه روند فصلی و سالانه دمای کمینه در ایستگاه‌های مورد مطالعه
(+ روند صعودی، - روند نزولی و • بدون روند)

تعیین نقطه تغییر با آزمون پتیت

نتایج تعیین نقطه تغییر در روند دمای بیشینه سالانه با آزمون پتیت نشان داد که روند دمای بیشینه در سه ایستگاه مزدوران، سینوپتیک مشهد، سینوپتیک گلستان به ترتیب در سال‌های ۱۳۸۰، ۱۳۷۵ و ۱۳۸۳ تغییر کرده است. در طی این سال‌ها به طور متوسط دما $1/4$ درجه سلسیوس افزایش داشته است و از $31/8$ به $34/3$ درجه سلسیوس رسیده است. برای دمای کمینه تنها ایستگاه زشک در سال ۱۳۸۴ دارای نقطه تغییر بوده که دما $3/2$ درجه سلسیوس کاهش یافته است. شکل (۴).



شکل(۴). (الف) میانگین تغییر و نقطه تغییر دمای بیشینه در ایستگاههای مزدوران، (ب) سینوپتیک مشهد، (ج) سینوپتیک گلمکان و (د) دمای کمینه ایستگاه زشك

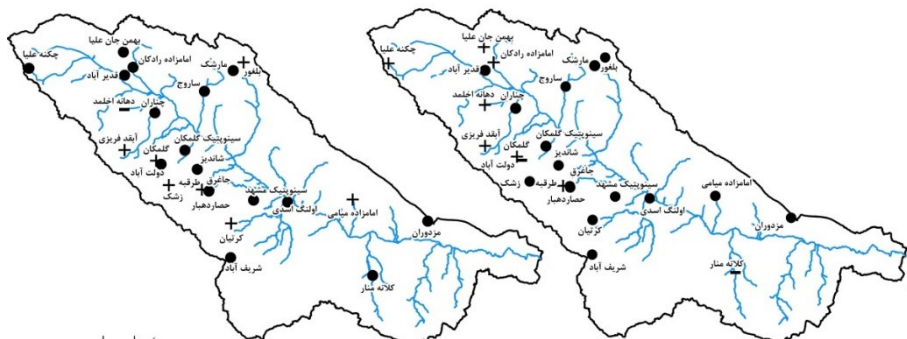
روند بارندگی

روند تغییر بارش ماهانه، فصلی و سالانه در ۲۵ ایستگاه در سطح حوضه مورد بررسی قرار گرفت و نتایج در شکل (۵) و جدول (۴) نشان داده شده است. براساس نتایج بدست آمده در ماههای اسفند، فروردین و اردیبهشت ۶۸ درصد ایستگاهها فاقد روند بوده‌اند و بقیه ایستگاهها (۳۲ درصد) در اسفند و فروردین روند کاهشی و در اردیبهشت افزایش داشته‌اند. اما در خرداد تعداد ایستگاههای با روند مثبت بیشتر از سایر ماهها بوده است به عبارتی در این ماه مقدار بارندگی بیشتر شده است. در ماههای تیر تا مهر مجدداً بیشتر ایستگاهها فاقد روند بوده‌اند و محدود ایستگاههای دارای روند نیز روند متفاوت داشته‌اند. نتیجه مهم در روند بارش آبان ماه بدست آمد که از مجموع ۲۸ ایستگاه، ۲۴ ایستگاه روند مثبت را نشان می‌دهند که نشان دهنده افزایش مقدار بارش در این ماه بوده است. در مقابل این افزایش قابل توجه، مقدار بارندگی در دی و بهمن کاهش شدیدی داشته است به طوری که به ترتیب ۲۰ و ۱۸ ایستگاه روند منفی داشته‌اند. نتایج این تغییرات می‌تواند تغییرات الگوی زمانی بارش در اثر تغییر اقلیم را در این حوضه تقویت نماید. نتایج تحلیل روند بارش در مقیاس فصلی و سالانه در شکل (۵) ارایه شده است. الگوی تغییرات فصلی نشان می‌دهد که مقدار بارش در بیشتر ایستگاهها در فصل بهار و تابستان فاقد روند بوده است اما در فصل پاییز بارش در بخش‌های جنوبی حوضه روند افزایشی و در سایر بخش‌ها فاقد روند بوده است. تحلیل روند بارش در فصل زمستان دلالت بر روند کاهشی بارش برای ۲۳ ایستگاه از مجموع ۲۸ ایستگاه است و تنها ۳ ایستگاه بدون روند بوده است که نشان دهنده کاهش بارش در این فصل می‌باشد. اما در مجموع

بارش سالانه در ایستگاه‌های مختلف فاقد روند می‌باشد و فقط در ۵ ایستگاه روند کاهشی است و یک ایستگاه نیز افزایش داشته است.

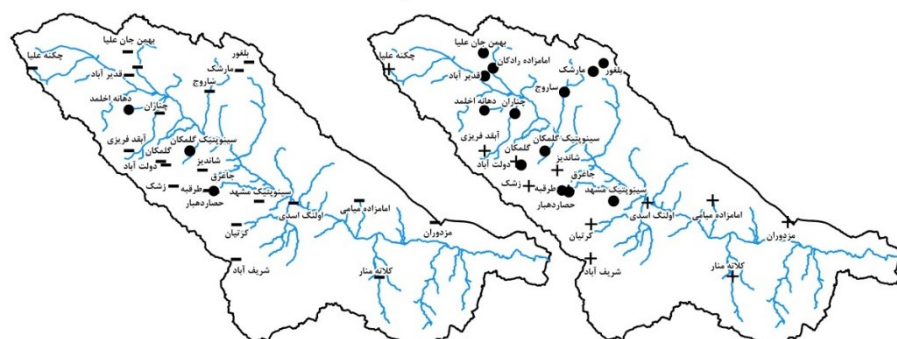
جدول (۴). نتایج آنالیز روند ماهانه بارندگی با استفاده از آزمون من کندال در حوضه کشفروود (تعداد ایستگاه)

روند	فروردين	اردبیهشت	خرداد	تیر	مهر	شهریور	آبان	دی	بهمن	اسفند
منفی	۹	۰	۰	۲	۷	۵	۱	۷	۲۰	۸
مثبت	۰	۸	۱۴	۴	۰	۴	۲۴	۱	۰	۰
بدون روند	۱۶	۱۷	۱۱	۱۹	۱۷	۱۶	۱	۵	۷	۱۷



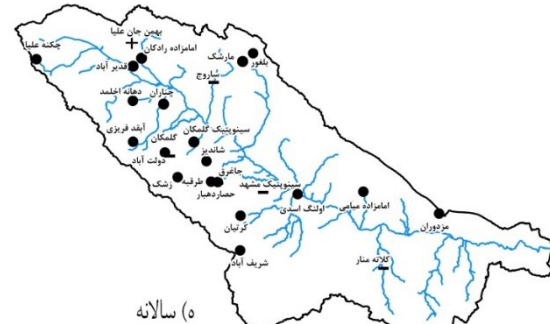
ب) تابستان

الف) بهار



د) زمستان

ج) پاییز



ه) سالانه

شکل (۵). نقشه روند فصلی و سالانه بارش در ایستگاه‌های مورد مطالعه (+ روند صعودی، - روند نزولی و ۰ بدون روند)

نتیجه گیری

این تحقیق با هدف بررسی روند بارندگی و دما در حوضه کشفروود در دوره ۱۳۹۵-۱۳۶۴ انجام شد بدین منظور از آزمون من کنдал برای تعیین روند و آزمون پتیت برای تعیین نقطه تغییر در سری داده‌ها استفاده شد. تحلیل روند دمای بیشینه نشان‌دهنده افزایش دمای سالانه حوضه در فصول بهار و زمستان و تا حدودی تابستان می‌باشد. این در حالی است که بیشتر ایستگاه‌ها در پاییز فاقد روند می‌باشند. همگنی روند در مورد دمای کمینه وجود ندارد ولی همچنان ایستگاه‌ایی که روند افزایشی دارند بیش از سایر ایستگاه‌ها می‌باشد. این تغییر دما می‌تواند باعث افزایش تبخیر و تعرق، کاهش سهم برف و خشکی بیشتر منطقه گردد. نتایج آزمون پتیت نیز نشان می‌دهد که فقط برای ۴ ایستگاه امکان تعیین نقطه تغییر است که این تغییرات از نظر زمانی در یک بازه ۱۰ ساله از سال ۱۳۷۵ تا ۱۳۸۴ قرار می‌گیرد از این رو روند تغییرات یکنواخت می‌باشد. در خصوص بارش حوضه نتیجه تحلیل روند نشان می‌دهد که بارش سالانه حوضه کشفروود تغییر نکرده و روند آن در سطح ۵ درصد معنی دار نیست در حالی که تغییرات ماهانه و فصلی آن زیاد است به طوری که در فصل زمستان مقدار بارش حوضه روند کاهشی داشته است و در پاییز نیز در نیمه جنوبی روند افزایشی است. این تغییرات را در مقیاس زمانی ماهانه می‌توان در روند افزایشی همه ایستگاه‌ها در آبان و روند منفی آنها در دی و بهمن مشاهده کرد. کاهش شدید بارش در زمستان و ماههای دی و بهمن که بیشتر به صورت برف است و افزایش آن در آبان که عمدتاً باران است می‌تواند مدیریت منابع آب حوضه را در فصل خشک با چالش جدی مواجه کند. روند افزایش دما در کنار تغییر در این الگو شرایط حادتری را برای حوضه سبب می‌شود. وفاخواه و همکاران (۱۳۹۱: ۸۵) در تحقیقی در همین حوضه برای فصل پاییز روند افزایشی و برای بهار روند کاهشی را گزارش کردند. در مقیاس سالانه نیز ۵ ایستگاه روند افزایش داشته‌اند در حالی که در این تحقیق تنها یک ایستگاه روند افزایش داشته است. با توجه به افزایش دما و کاهش بارندگی در سال‌های اخیر این تفاوت نتایج به دوره آماری تحقیق مرتبط می‌باشد. نتایج تحقیق تهروندی و همکاران (۱۳۹۵) برای ایستگاه سینوپتیک مشهد و رضیئی و همکاران (۹: ۱۳۸۴) برای حوضه نیز دلالت بر عدم وجود روند در بارش سالانه می‌باشد. نکته مهم دیگر اینکه ارتباط معنی‌داری بین موقعیت ایستگاه‌های مختلف و روند تغییرات مشاهده شده وجود نداشت فقط در یک مورد آن هم روند بارش در فصل پاییز به نظر از الگوی مکانی منظمی برخوردار است و ایستگاه‌های شمالی و جنوبی حوضه روند متفاوتی دارند در تحقیقی که بليه و همکاران (۱۸: ۲۰) در حوضه‌ای در اتیوبی انجام داده‌اند به الگوی مکانی مناسبی برای روند بارش در ارتفاعات و مناطق دشتی حوضه رسیدند. عدم مشاهده الگوی منظم در حوضه می‌تواند به دلیل پیچیدگی سیستم اقلیم منطقه باشد که در مقدار بارش و دما موثر است همچنین بخشی از این می‌تواند به خطای ناشی از اندازه گیری بارش و تجهیزات مربوطه نیز مرتبط باشد. در مجموع نتایج تحقیق حاضر نشان می‌دهد که روند تغییرات در سطح حوضه کشفروود از الگوی یکسانی از نظر مکانی برخوردار نیست. روند سالانه تغییرات دمای بیشنه و کمینه حوضه افزایشی است اما مقدار بارش سالانه روند معنی داری نداشته است. با این وجود روند تغییرات دما و بارش در مقیاس ماهانه و فصلی دلالت بر تغییرات معنی دار در دما و بارش حوضه در ماه‌ها و فصول مختلف دارد که باعث تشدید خشکسالی و وقوع سیلاب در حوضه می‌شود و نیاز است که در مدیریت منابع آب حوضه مورد توجه جدی قرار گیرد.

منابع

- احمدی، فرشاد؛ رادمنش، فریدون؛ میرعباسی نجف آبادی، رسول. (۱۳۹۵). تحلیل روند بارندگی نیمه شمالی کشور در نیم قرن اخیر. نشریه دانش آب و خاک، ۲: ۲۲۴-۲۰۷.
- امیررضائیه، علیرضا؛ پرهمت، جهانگیر؛ احمدی، فرشاد. (۱۳۹۵). بررسی روند تغییرات بارش و دمای شمال غرب کشور در نیم قرن اخیر. نشریه آبیاری و زهکشی ایران، ۶: ۸۰۹-۷۹۷.
- انتظاری علیرضا، اکبری الله، میوانه فاطمه (۱۳۹۲). بررسی کیفیت آب شرب استحصالی از منابع زیرزمینی بر بیماری‌های انسانی دهه اخیر در دشت مشهد. نشریه تحقیقات کاربردی علوم جغرافیایی، ۱۳ (۳۱): ۱۵۷-۱۷۲.
- آروین، عباسعلی؛ قانقرمه، عبدالعظیم؛ حاجی پور، داور. (۱۳۹۵). بررسی روند تغییرات برخی عناصر اقلیمی در استان چهارمحال و بختیاری. نشریه تحقیقات کاربردی علوم جغرافیایی، ۴۱: ۱۵۳-۱۷۶.
- حجام، سهراب؛ خوشخو، یونس؛ شمس الدین وندی، رضا. (۱۳۸۷). تحلیل روند تغییرات بارندگی‌های فصلی و سالانه چند ایستگاه منتخب در حوزه مرکزی ایران با استفاده از روش‌های ناپارامتری. پژوهش‌های جغرافیایی، ۶۴: ۱۵۷-۱۶۸.
- حیدری، حسن؛ علیجانی، بهلول. (۱۳۷۸). طبقه بندی اقلیمی ایران با استفاده از تکنیک‌های آماری چند متغیره. پژوهش‌های جغرافیایی، ۳۷: ۵۷-۷۴.
- رضیئی، طیب؛ دانش کار آراسته، پیمان؛ ثقفیان، بهرام. (۱۳۸۴). بررسی روند بارندگی سالانه در مناطق خشک و نیمه خشک مرکزی و شرقی ایران. آب و فاضلاب، ۵۴: ۱-۹.
- زارع ابیانه، حمید؛ بیات ورکشی، مریم؛ بیزدانی، وحید. (۱۳۸۹). تحلیل روند تغییرات سالانه و فصلی دما، بارش و خشکسالی‌های استان همدان. فصلنامه علمی پژوهشی مهندسی آبیاری و آب، ۱ (۳): ۱۱-۱۲.
- سبزی پرور، علی اکبر؛ شادمانی، مجتبی. (۱۳۹۰). تحلیل روند تبخیر و تعرق مرجع با استفاده از آزمون من-کندال و اسپیرمن در مناطق خشک ایران. نشریه آب و خاک، ۲۵: ۸۳۴-۸۲۳.
- فرساندی، فرهاد؛ رستمی کامرود، محسن؛ مقدم نیا، علیرضا. (۱۳۹۱). تحلیل روند بارندگی در استان مازندران با استفاده از روش من-کندال منطقه‌ای. تحقیقات منابع آب ایران، ۲: ۷۰-۶۰.
- قصاب فیض، مصطفی؛ اسلامی، حسین. (۱۳۹۶). ارزیابی روند تغییرات بارندگی با روش من کندال و رگرسیون خطی در استان خوزستان. فصلنامه علمی و تخصصی مهندسی آب، ۱۱۳-۱۲۱.
- محمدی، بختیار. (۱۳۹۰). تحلیل روند بارش سالانه ایران. مجله جغرافیا و برنامه ریزی محیطی، ۳: ۱۰۶-۹۵.
- مصطفی، غلامعلی؛ شفیعی، شهاب. (۱۳۹۵). بررسی و تحلیل روند سالانه بارش مناطق غربی ایران. نشریه پژوهش‌های کاربردی علوم آب، ۲: ۵۸-۴۹.
- مهندی، محمد. (۱۳۸۹). هیدرولوژی کاربردی. موسسه انتشارات دانشگاه تهران. چاپ هشتم.
- ناظری تهرودی، محمد؛ خلیلی، کیوان؛ احمدی، فرشاد. (۱۳۹۳). تحلیل روند تغییرات ایستگاهی و منطقه‌ای بارش نیم قرن اخیر کشور ایران. نشریه آب و خاک (علوم و صنایع کشاورزی)، ۲: ۶۵۴-۶۴۳.
- وفاخواه، مهدی؛ بخشی تیرگانی، محمد؛ خزائی، مجید. (۱۳۹۱). تحلیل روند بارندگی و دبی در حوزه آبخیز کشف‌رود. فصلنامه جغرافیا و توسعه، ۴۰: ۹۰-۷۷.

- Asfaw, A., Simane, B., Hassen, A., Bantider, A. (2017). **Variability and time series trend analysis of rainfall and temperature in northcentral Ethiopia: A case study in Woleka sub-basin.** Weather and Climate Extremes, **19**: 1–13.
- Bari, S. H., Rahman, M. T. U., Hoque, M. A., & Hussain, M. M. (2016). **Analysis of seasonal and annual rainfall trends in the northern region of Bangladesh.** Atmospheric Research, **176**: 148–158.
- Belihu, M., Abate, B., Tekleab, S., & Bewket, W. (2018). **Hydro-meteorological trends in the Gidabo catchment of the Rift Valley Lakes Basin of Ethiopia.** Physics and Chemistry of the Earth, Parts A/B/C, **104**, 84–101..
- Belihu, M., Abate, B., Tekleab, S., Bewket, W. (2018). **Hydro-meteorological trends in the Gidabo catchment of the Rift Valley Lakes Basin of Ethiopia.** Physics and Chemistry of the Earth, Parts A/B/C, 84–101.
- Gao, P., Mu, X. M., Wang, F., & Li, R. (2011). **Changes in streamflow and sediment discharge and the response to human activities in the middle reaches of the Yellow River.** Hydrology and Earth System Sciences, **15**(1), 1–10.
- Hamed, K. H. (2008). **Trend detection in hydrologic data: the Mann–Kendall trend test under the scaling hypothesis.** Journal of hydrology, **349**(3–4), 350–363.
- Hamed, K. H., & Rao, A. R. (1998). **A modified Mann-Kendall trend test for autocorrelated data.** Journal of hydrology, **204**(1–4), 182–196..
- Jain, S. K., Kumar, V., & Saharia, M. (2013). **Analysis of rainfall and temperature trends in northeast India.** International Journal of Climatology, **33**(4), 968–978.
- Javari, M. (2017). **Spatial variability of rainfall trends in Iran.** Arabian Journal of Geosciences, **10**(4), 78.
- Kendall, M.G., 1975. **Rank Correlation Methods.** Charles Griffin, London. Khaliq, M.N., Ouarda, T.B.M.J., Gachon, P., Sushama, L., 2008. Temporal evolution of low-flow regimes in Canadian rivers. Water Resour. Res. **44** (8).
- Li, S., Xiong, L., Li, H. Y., Leung, L. R., & Demissie, Y. (2016). **Attributing runoff changes to climate variability and human activities: uncertainty analysis using four monthly water balance models.** Stochastic environmental research and risk assessment, **30**(1), 251–269.
- Mann, H. B. (1945). **Nonparametric tests against trend.** Econometrica: Journal of the Econometric Society, 245–259.
- Mechal, A., Wagner, T., & Birk, S. (2015). **Recharge variability and sensitivity to climate: the example of Gidabo River Basin, Main Ethiopian Rift.** Journal of Hydrology: Regional Studies, **4**, 644–660.
- Mu, X., Zhang, L., McVicar, T. R., Chille, B., & Gau, P. (2007). **Analysis of the impact of conservation measures on stream flow regime in catchments of the Loess Plateau, China.** Hydrological Processes: An International Journal, **21**(16), 2124–2134.
- Pettitt, A. N. (1979). **A non-parametric approach to the change-point problem.** Journal of the Royal Statistical Society: Series C (Applied Statistics), **28**(2), 126–135.
- Sang, Y. F., Wang, Z., & Liu, C. (2014). **Comparison of the MK test and EMD method for trend identification in hydrological time series.** Journal of Hydrology, **510**: 293–298.
- Serrano, A., Mateos, V. L., & Garcia, J. A. (1999). **Trend analysis of monthly precipitation over the Iberian Peninsula for the period 1921–1995.** Physics and Chemistry of the Earth, Part B: Hydrology, Oceans and Atmosphere, **24**(1–2), 85–90.
- Verstraeten, G., Poesen, J., Demarée, G., & Salles, C. (2006). **Long-term (105 years) variability in rain erosivity as derived from 10-min rainfall depth data for Ukkel (Brussels, Belgium): Implications for assessing soil erosion rates.** Journal of Geophysical Research: Atmospheres, **111**(D22).

- Xie, H., Li, D., & Xiong, L. (2014). **Exploring the ability of the Pettitt method for detecting change point by Monte Carlo simulation.** Stochastic environmental research and risk assessment, **28**(7), 1643-1655.
- Xu, Z. X., Takeuchi, K., & Ishidaira, H. (2003). **Monotonic trend and step changes in Japanese precipitation.** Journal of hydrology, **279**(1-4), 144-150.
- Yue, S., & Wang, C. Y. (2002). **Applicability of prewhitening to eliminate the influence of serial correlation on the Mann-Kendall test.** Water resources research, **38**(6), 4-1.
- Yue, S., Pilon, P., & Phinney, B. O. B. (2003). **Canadian streamflow trend detection: impacts of serial and cross-correlation.** Hydrological Sciences Journal, **48**(1), 51-63.
- Yue, S., Pilon, P., Phinney, B., & Cavadias, G. (2002). **The influence of autocorrelation on the ability to detect trend in hydrological series.** Hydrological processes, **16**(9), 1807-1829.
- Zhang, S., & Lu, X. X. (2009). **Hydrological responses to precipitation variation and diverse human activities in a mountainous tributary of the lower Xijiang, China.** Catena, **77**(2), 130-142.